

EMAP - Escola de Matemática Aplicada  
Fundação Getúlio Vargas  
Disciplina de Curvas e Superfícies

# Superfícies de Revolução

Nicole dos Santos de Souza

Rio de Janeiro  
Junho de 2023

# Sumário

<b>1</b>	<b>Motivação</b>	<b>2</b>
<b>2</b>	<b>Definição</b>	<b>2</b>
<b>3</b>	<b>Demonstração - Superfícies de Revolução são superfícies Regulares</b>	<b>5</b>
<b>4</b>	<b>Identificação das superfícies de Revolução</b>	<b>6</b>
<b>5</b>	<b>Área de uma superfície de Revolução</b>	<b>7</b>
5.1	Exemplos . . . . .	8
5.1.1	Esfera . . . . .	8
5.1.2	Cilindro . . . . .	8
<b>6</b>	<b>Exemplos no Geogebra</b>	<b>8</b>
6.1	Superfícies a partir de funções . . . . .	11
<b>7</b>	<b>Referências</b>	<b>13</b>

# 1 Motivação

Uma importante classe de superfícies regulares é aquela formada pelas ditas superfícies de revolução. Essas superfícies são geradas pela rotação de uma curva plana em torno de um eixo, criando uma forma tridimensional elegante e repleta de propriedades matemáticas interessantes.

As superfícies de revolução têm sido amplamente exploradas e aplicadas em diversas áreas da física e da engenharia. Quando determinados objetos são projetados digitalmente, revoluções como essas podem ser usadas para determinar a área da superfície sem que se faça necessário medir o comprimento e o raio do objeto que está sendo projetado, tornando as coisas mais rápidas e simples. Elas desempenham um papel significativo nos softwares de engenharia, especialmente aqueles dedicados à modelagem e simulação de objetos tridimensionais. Esses softwares oferecem uma variedade de ferramentas que permitem aos engenheiros criar e manipular superfícies de revolução de forma eficiente e precisa.

Desse modo, além de uma forma matemática elegante e curiosa, a superfície de revolução é uma excelente ferramenta para as mais variadas aplicações. Neste estudo veremos um pouco sobre suas características e como construí-las usando o software matemático Goegebra.

# 2 Definição

Vamos considerar uma curva regular  $C$  e uma reta  $r$ , ambas localizadas em um plano  $X$ . Podemos imaginar o movimento de rotação desse plano em torno da reta  $r$ . Agora, vamos pensar no conjunto de pontos no espaço descrito pela curva  $C$  ao dar uma volta completa em torno de  $r$ . Esses pontos formam uma superfície  $S$  que denominamos *superfície de revolução*.

A curva  $C$  é chamada uma geratriz de  $S$  e a reta  $r$  é dita eixo de revolução de  $S$ . Veja um exemplo na figura abaixo (onde a curva  $C$  está representada em azul e a curva  $r$  em preto).

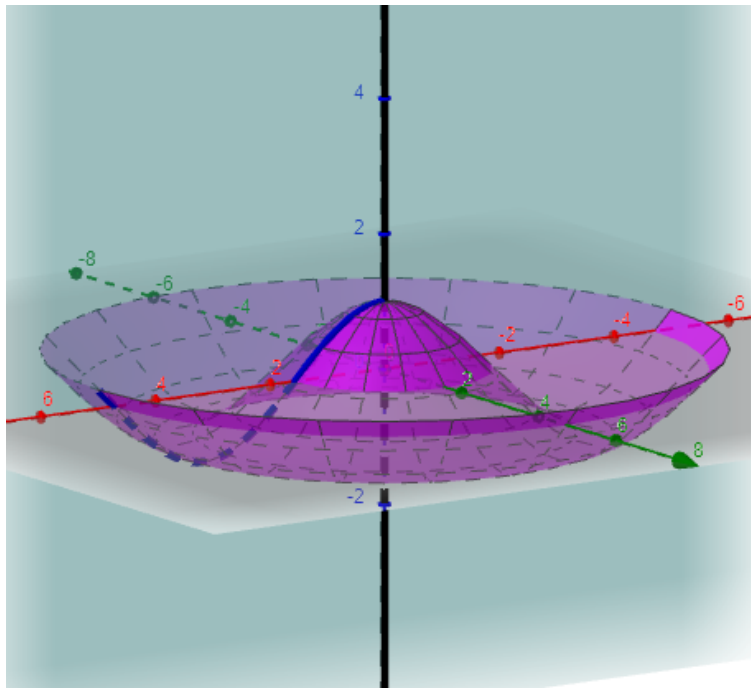


Figura 1: Exemplo de uma Superfície de Revolução

Com o movimento de rotação em torno da reta  $r$ , cada ponto  $P$  de  $C$  determina um círculo. Esses círculos são denominados paralelos da superfície. Por exemplo, abaixo, se encontram os paralelos de dois pontos da curva: A e B.

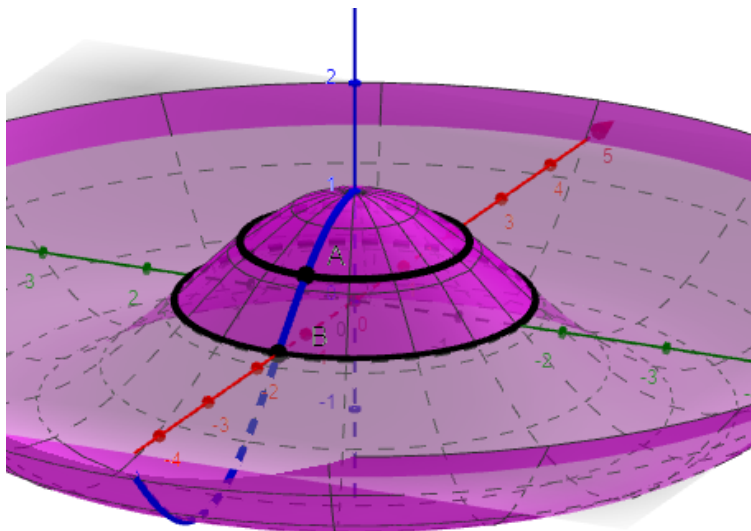


Figura 2: Paralelos da Superfície de Revolução

Cada um dos planos obtidos girando o plano  $X$  em torno da reta  $r$  contém uma cópia da curva  $C$ . Essas cópias de  $C$  são chamadas meridianos da superfícies  $S$ . Elas estão dispostas em cores diferentes abaixo para fácil visualização.

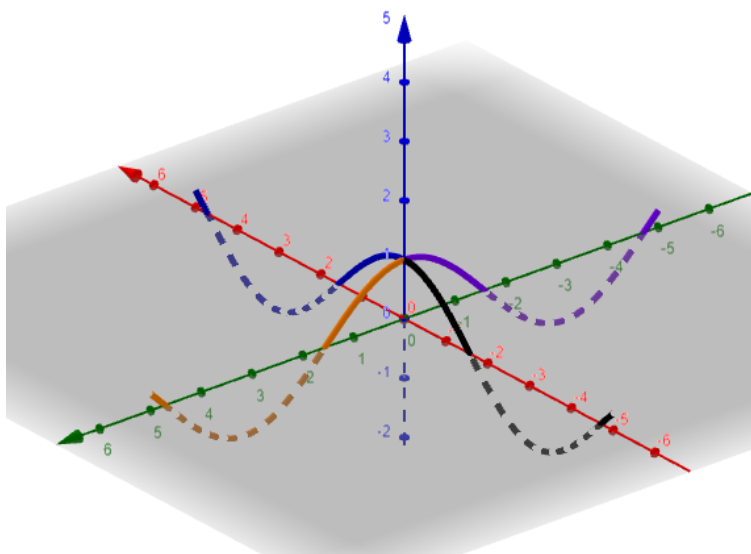


Figura 3: Meridianos da Superfície de Revolução

Note que os pontos da superfície (ou de uma geratriz  $C$ ) que pertencem ao eixo de revolução permanecem fixos durante todo o movimento de rotação da curva  $C$  em torno de  $r$ . Assim, o paralelo que contém o ponto é um círculo degenerado que consiste de apenas um ponto. Nesse caso, o ponto  $A$  representa o círculo degenerado abaixo.

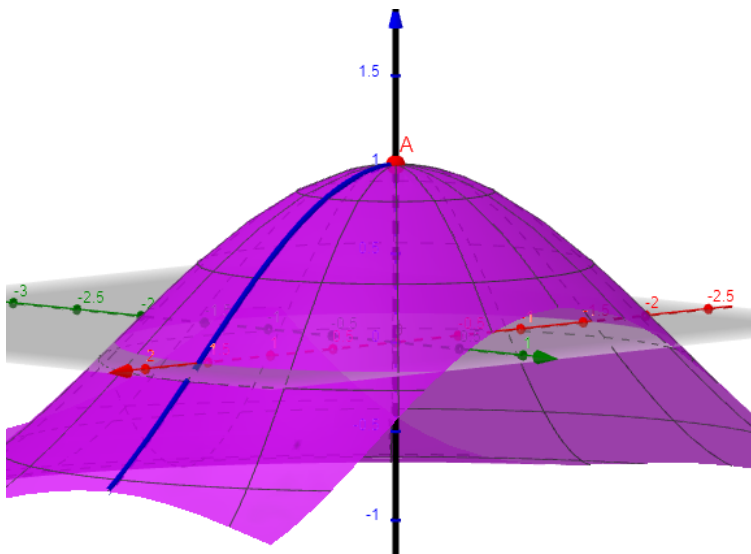


Figura 4: Paralelo degenerado da Superfície de Revolução

Veremos mais animações e visualizações de superfícies de revolução posteriormente.

### 3 Demonstração - Superfícies de Revolução são superfícies Regulares

Uma característica relevante das superfícies de revolução é que elas são superfícies regulares, o que as torna aptas para diversas aplicações por sua natureza bem-comportada. Nesta seção vamos demonstrar essa afirmação baseando-se no livro do Ronaldo.

Vamos descrever uma superfície de revolução  $S$  analiticamente. Tomemos um sistema de coordenadas em  $\mathbb{R}^3$ , tal que o plano  $X$  coincida com o plano  $XZ$ ,  $r$  com o eixo  $Z$ , e tal que  $C$  esteja contida no semiplano:  $\{(x, 0, z); x > 0\}$

Assim, definimos  $S$  como o lugar geométrico dos pontos  $p \in \mathbb{R}^3$  tais que, para algum  $q \in C$  e algum  $\theta \in \mathbb{R}$ , tem-se:  $p = T^\theta(q)$ , sendo  $T^\theta$  a rotação do ângulo  $\theta$  em torno do eixo  $Z$  (para  $\theta > 0$ , sentido anti-horário),

$$T^\theta(x, y, z) = (x \cos \theta - y \sin \theta, x \sin \theta + y \cos \theta, z)$$

com  $(x, y, z) \in \mathbb{R}^3$ . Os paralelos de  $S$ , por definição, são os círculos  $T^\theta(q)$  com  $q$  fixo e  $\theta$  variando em  $\mathbb{R}$ , e seus meridianos são os conjuntos  $T^\theta(C)$ , com  $\theta$  fixo. Foi assim que encontramos os meridianos e paralelos no *Geogebra* nas figuras apresentadas.

Com o intuito de demonstrar que  $S$  é uma superfície regular, tomemos  $p \in S$  e  $q \in C$ , tais que  $p = T^\theta(q)$ , e suponhamos, inicialmente, que  $-\pi < \theta < \pi$ . Consideremos, então, uma parametrização local de  $C$  em  $q$ ,  $\alpha(t) = (f(t), 0, g(t))$ ,  $t \in I \subset \mathbb{R}$ , e observemos que a função  $f$  é positiva em  $I$ . Façamos  $U = (-\pi, \pi) \times I \subset \mathbb{R}^2$ , ponhamos

$$X(u, v) = T^u(\alpha(v)) = (f(v) \cos u, f(v) \sin u, g(v)), (u, v) \in U,$$

e vamos verificar que  $X$  é uma parametrização local de  $S$  em  $p$ . Pela hipótese sobre  $\theta$ , temos que  $p \in V = X(U) \subset S$ . Escrevendo-se,

$$X(u, v) = (f(v) \cos u, f(v) \sin u, g(v)) = (x, y, z) \in V$$

tem-se que  $\alpha(v) = (f(v), 0, g(v)) = (\sqrt{x^2 + y^2}, 0, z)$ . Portanto,  $v$  é univocamente determinado por  $(x, y, z)$  através da igualdade

$$v = v(x, y, z) = \alpha^{-1}(\sqrt{x^2 + y^2}, 0, z), (x, y, z) \in V.$$

Observando-se que as funções  $(x, y, z) \rightarrow \sqrt{x^2 + y^2}$  e  $(x, y, z) \rightarrow z$  estendem-se diferenciavelmente a  $\mathbb{R}^3 - \{0\} \supset S$ , tem-se que  $v$  é diferenciável em  $V$ , já que, por hipótese,  $\alpha^{-1}$  é diferenciável em  $\alpha(I)$ . Considerando-se, agora, a igualdade,  $\tan \frac{u}{2} = \frac{\sin u}{1 + \cos u}$ , válida para todo  $u \in (-\pi, \pi)$ , e lembrando-se que a função tangente é um difeomorfismo do intervalo  $(-\pi/2, \pi/2)$  sobre  $\mathbb{R}$ , conclui-se que

$$u = u(x, y, z) = 2 \tan^{-1} \left( \frac{y}{x + \sqrt{x^2 + y^2}} \right), (x, y, z) \in V.$$

assim como essa função é diferenciável em  $V$ . Dessa forma,  $X : U \rightarrow V$  é um difeomorfismo e, portanto, uma parametrização local de  $S$  em  $p$ . Por fim, se  $\theta = \pm\pi$ , obtém-se facilmente uma parametrização local  $X$ , de  $S$  em  $p$ , tomando-se  $0 < \epsilon < \pi$  e um ponto  $p_0 = T^{\theta+\epsilon}(p) \in S$ . Nessas condições, pelo discutido acima, existe uma parametrização local  $Y$ , de  $S$  em  $p_0$ . Assim, basta fazer  $X = T^{-\epsilon} \circ Y$ .

Dessa forma, segue-se que toda superfície de revolução é uma superfície regular. Note que é importante que as hipóteses a respeito da posição relativa entre a curva geratriz e o eixo de revolução sejam cumpridas, pois se isso não for satisfeito a superfície resultante pode não ser regular.

## 4 Identificação das superfícies de Revolução

O procedimento para verificar se uma superfície  $S$  é de revolução consiste em encontrar uma reta  $r$  (eixo de revolução de  $S$ ), de modo que, se  $X$  é um plano perpendicular a  $r$  que intersecta  $S$ , então  $S \cap X$  é uma circunferência com o centro no ponto de interseção entre  $r$  e  $X$ .

Na figura que segue, pode-se desconfiar de que a superfície seja de revolução e que a reta que cobre o eixo  $X$  seja seu eixo. Assim, para fazer a verificação, notamos que a interseção entre os planos perpendiculares ao eixo  $X$  e a superfície sempre resultam em circunferências com o centro no ponto de interseção entre o plano e o eixo.

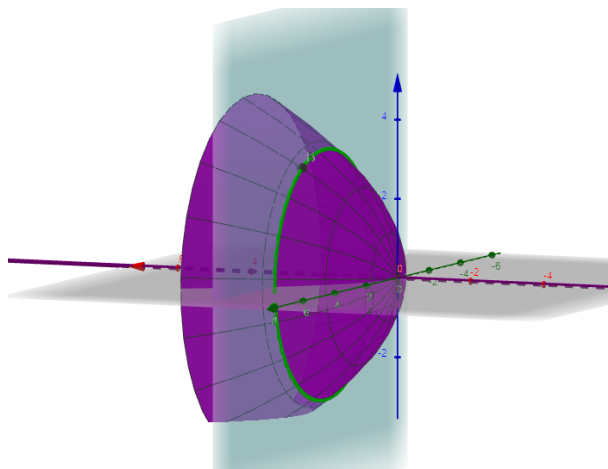


Figura 5: Identificando se a superfície é de Revolução

Uma vez que saibamos que  $S$  é uma superfície de revolução, podemos determinar uma curva geratriz da superfície  $S$ , encontrando a interseção entre ela e um plano que contém o eixo de rotação  $r$ .

Na nossa superfície de exemplo, podemos pegar a interseção entre um plano que contém essa reta e a superfície, identificamos a curva geratriz.

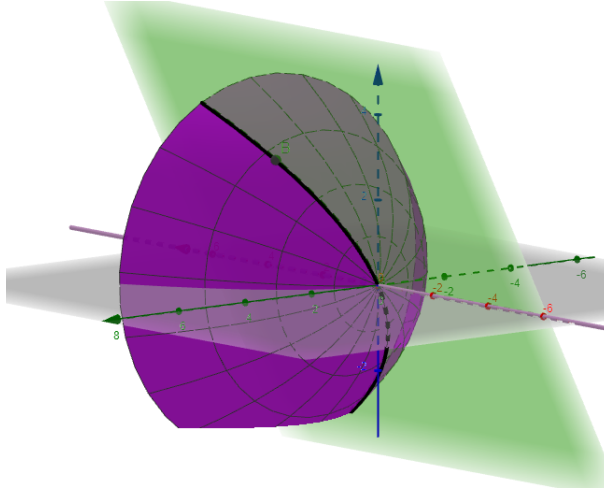


Figura 6: Identificando a geratriz

## 5 Área de uma superfície de Revolução

A área de uma superfície qualquer pode ser expressa em termos da primeira forma fundamental da seguinte forma<sup>1</sup>:

$$A(D) = \iint_D \sqrt{EG - F^2} \, dudv.$$

Seja  $S$  uma superfície de revolução cuja curva geratriz, contida no plano  $XZ$ , admite a parametrização por comprimento de arco  $\alpha : I \subset \mathbb{R} \rightarrow S, \alpha(v) = (x(v), 0, z(v)), x(v) > 0$ .

Fazendo-se  $U = (-\pi, \pi) \times I$ , tem-se que a aplicação definida por:

$$X(u, v) = (x(v)\cos u, x(v)\sin u, z(v)), (u, v) \in U,$$

é uma parametrização de  $S$ , a qual a cobre, a menos de um meridiano. Uma vez que

$$\begin{aligned} X_u(u, v) &= (x(v)\sin u, x(v)\cos u, 0); \\ X_v(u, v) &= (x'(v)\cos u, x'(v)\sin u, z'(v)) \end{aligned}$$

Podemos calcular a primeira forma fundamental.

$$\begin{aligned} E(u, v) &= x(v)^2 \\ F(u, v) &= 0 \\ G(u, v) &= (x'(v))^2 + z'(v)^2 = 1 \end{aligned}$$

Dessa forma, com a parametrização que utilizamos:  $X(u, v)$ , temos  $X^{-1}(S) = (-\pi, \pi) \times (a, b)$  e reescrevemos:

$$\begin{aligned} A(S) &= \int_{X^{-1}(S)} \sqrt{EG - F^2} \, dudv \\ &= \int_{-\pi}^{\pi} \int_a^b x(v) \, dudv \end{aligned}$$

<sup>1</sup>[https://pt.wikipedia.org/wiki/Superf%C3%ADcie\\_param%C3%A9trica](https://pt.wikipedia.org/wiki/Superf%C3%ADcie_param%C3%A9trica)



$$= 2\pi \int_a^b x(v)dv$$

Com isso, conclui-se que é bastante simples e direto calcular áreas de superfícies de revolução, e isso pode se fazer útil nas mais diversas aplicações.

## 5.1 Exemplos

### 5.1.1 Esfera

Vamos utilizar o Teorema de Pappus para confirmar que a área de uma esfera é:  $4\pi r^2$ .

Seja  $S$  esfera de  $\mathbb{R}^3$  com centro na origem e raio  $r > 0$ ,  $p_0 = (0, 0, -r)$ ,  $p_1 = (0, 0, r)$  seus polos sul e norte, respectivamente. Observemos que  $S - \{p_0, p_1\}$  é uma superfície de revolução cuja curva geratriz,  $C$ , é o semicírculo do plano  $XZ$  que liga  $p_0$  a  $p_1$  excluindo de suas extremidades, isto é, o traço da curva:

$$r(\cos(v/r), 0, \sin(v/r)), v \in (-r\pi/2, r\pi/2)$$

Aplicando o teorema de Pappus:

$$\begin{aligned} A(S) &= 2\pi \int_{-r\pi/2}^{r\pi/2} r \cos(v/r) dv \\ &= 4\pi r^2 \end{aligned}$$

### 5.1.2 Cilindro

No caso particular em que a superfície de Revolução  $S$  é o cilindro circular reto de raio  $r > 0$ ,  $\{(x, y, z) \in \mathbb{R}^3; x^2 + y^2 = r^2\}$ , tem-se  $\alpha(v) = (r, 0, v)$ ,  $v \in \mathbb{R}$ ,  
donde

$$A(S) = 2\pi r(b - a)$$

Assim, verificamos também a fórmula da área para o cilindro.

## 6 Exemplos no Geogebra

Uma maneira alternativa de visualizar a superfície de revolução no Geogebra é encontrar o rastro de todos os meridianos, deixando em função de um ângulo para que se possa construir uma animação. Abaixo está representado esse esquema para a mesma curva  $C$  trabalhada anteriormente.

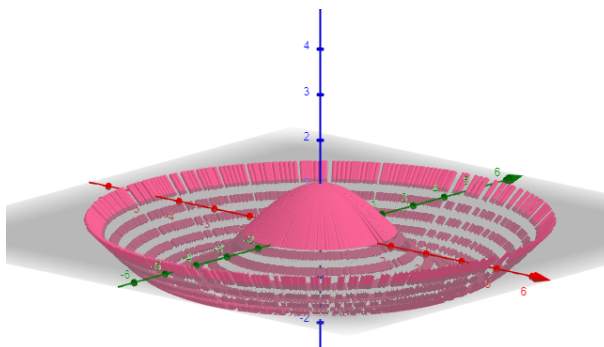


Figura 7: Superfície a partir dos meridianos

O geogebra, entretanto, possui uma ferramenta que torna muito rápida e simples a construção de superfícies de revolução. A função *Superfície(curva, ângulo, reta)* permite que, informando a equação da Curva e o eixo de revolução, juntamente com até qual ângulo se deseja construir a volta ( $2\pi$  para uma volta completa) qualquer superfície possa ser construída com poucos segundos. Abaixo vemos alguns exemplos de superfícies constuídas com essa ferramenta.

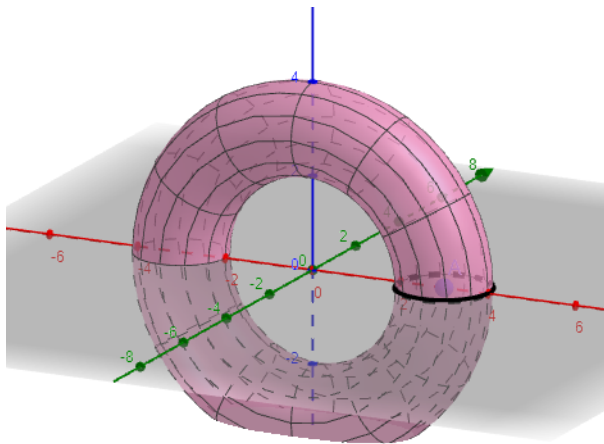


Figura 8: Toro

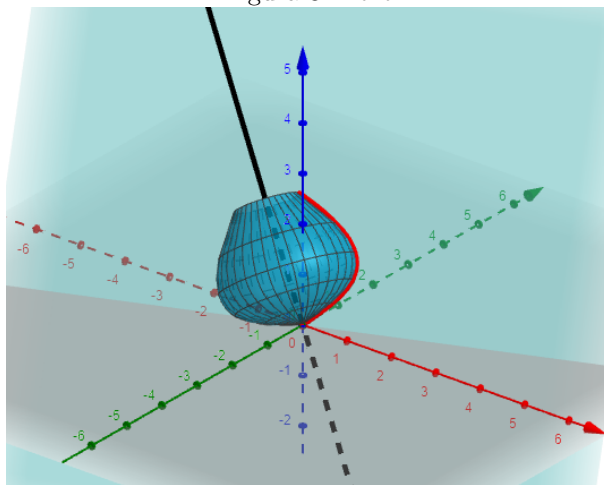


Figura 9: Superfície com eixo de rotação não paralelo aos eixos X,Y e Z

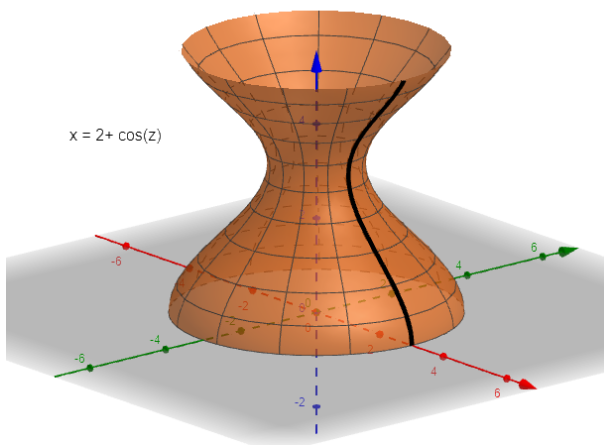


Figura 10: Parte da curva  $x = 2 + \cos(z)$

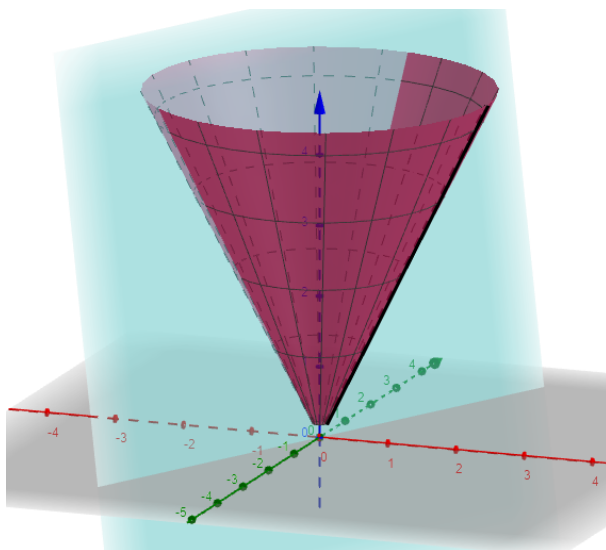


Figura 11: Cone

## 6.1 Superfícies a partir de funções

Nas pesquisas desse estudo foi encontrado um programa<sup>2</sup> muito interessante que calcula superfícies de revolução a partir de funções. Feito de maneira iterativa com o usuário, a aplicação pede uma função e sob qual eixo se quer o eixo de revolução, além dos pontos inicial e final da curva. É importante destacar que o programa adapta a curva (pedida em função de  $x$ ) para o eixo escolhido, então as três diferentes versões da superfície alternando os eixos são apenas versões rotacionadas da mesma, e não a curva no plano  $XY$  com diferentes eixos de rotação.

Abaixo estão dispostos alguns testes utilizando a aplicação.

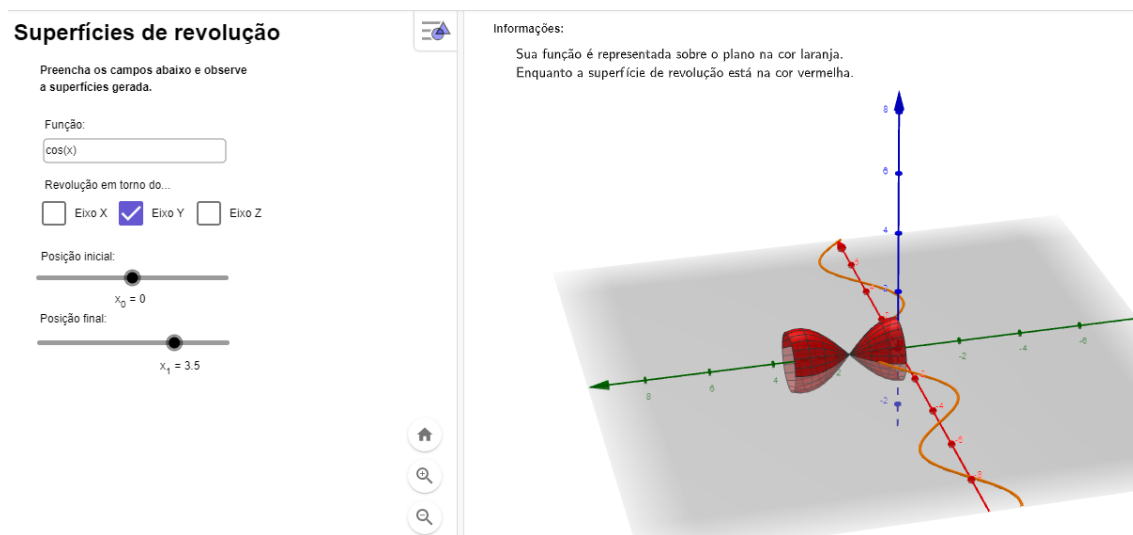


Figura 12: Função cosseno

<sup>2</sup>(<https://www.geogebra.org/m/na9wBuEW>)

## Superfícies de revolução

Preencha os campos abaixo e observe a superfície gerada.

Função:

$x^2 / 3$

Revolução em torno do...

☒ Eixo X ☐ Eixo Y ☐ Eixo Z

Posição inicial:

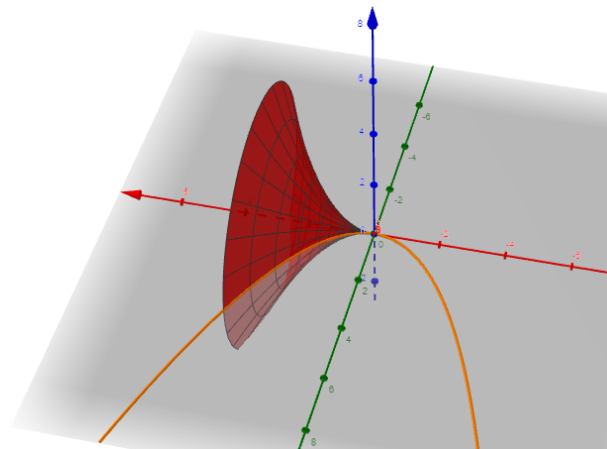
$x_0 = 0$

Posição final:

$x_1 = 3.5$

Informações:

Sua função é representada sobre o plano na cor laranja.  
Enquanto a superfície de revolução está na cor vermelha.



## Superfícies de revolução

Preencha os campos abaixo e observe a superfície gerada.

Função:

$x^3$

Revolução em torno do...

☐ Eixo X ☐ Eixo Y ☒ Eixo Z

Posição inicial:

$x_0 = -2.65$

Posição final:

$x_1 = 2.7$

Informações:

Sua função é representada sobre o plano na cor laranja.  
Enquanto a superfície de revolução está na cor vermelha.

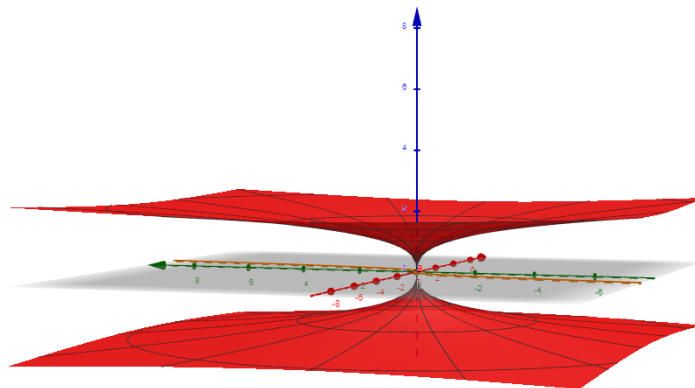


Figura 13: Função quadrática

Figura 14: Função cúbica

## 7 Referências

- [1] Carmo, M. P. (2014). Geometria diferencial para curvas e superfícies (6<sup>a</sup> ed.). SBM. ISBN 9788583370246.
- [2] Lima, R. F. (2016). Introdução à Geometria Diferencial. Sociedade Brasileira de Matemática.
- [3] Notas fornecidas em aula. (<https://www.professores.uff.br/kowada/wp-content/uploads/sites/63/2017/08/ga2V1aula13.pdf>)